

SPEKTRAL TRANSFER FONKSİYONLARINDAN YARARLANILARAK SİSMİK P DALGALARI İLE ÜRETİLEN YAPAY YANSIMA SİSMOGRAMLARI

Synthetic Reflection Seismograms Produced With Seismic P Waves Using the Spectral Transfer Functions

A. Güngör TAKTAK* ve Aybige AYDOĞAN*

ÖZET

Gözlemsel verilerin değerlendirilmesinde kolaylık sağlamak amacıyla yapay yansımaya sismogramları üretilmektedir. Ayrıca yansımaya sismogramlarının daki sinyalin şekil ve genlik değişimlerinin daha iyi yorumlanabilmesi model çalışmalarla daha da kolay olmaktadır.

Bu çalışmada, önce P dalgalarının frekans ortamında analizi yapılarak, verilen matris yöntemi ile çeşitli kuramsal tabaka modellerinin transfer fonksiyonları hesaplanmıştır. Üretilen sismogramlarda özellikle dalga boyu-tabaka kalınlığı ilişkisi göz önüne alınmıştır. Yöntemin esası yarı-onsuz bir ortamın üzerinde uzanan yatay tabakalarдан oluşan bir ortamda elastik dalga denkleminin sınır koşulları altında çözümüne dayanmaktadır. Çözüm (2×2) 'lık tabaka matrisi olarak verilmektedir. Bu matrisin elemanları tabaka kalınlığı, P dalga hızları, yoğunluk ve frekansın fonksiyonudur. Tabakalı bir ortamda ilerleyen elastik dalgalar için denklemin matris yöntemi ile çözümü, tabakalı ortamın transfer fonksiyonunun çabuk ve duyarlı olarak hesaplanması sağlanmaktadır.

ABSTRACT

Synthetic seismograms are computed for a precise interpretation of observed data. Also, it is easier to interpret the variations of shapes and amplitudes of signal on the reflection seismograms with the model studies.

Here, the transfer functions of various theoretical models were initially calculated with a given matrix method after the analysis of P waves in the frequency domain. Relationship between wavelength and layer thickness was especially considered on the synthetic seismograms. The basis of the method is to find solutions to the elastic waves under boundary conditions for the medium consisting of horizontal layers over a semi-infinite space. Solution was given as a (2×2) layer matrix. The elements of this matrix are functions of layer thickness, P wave velocity, density and frequency.

GİRİŞ

Sismik verilerin değerlendirilmesi amacı ile yapılan çalışmalarla karşılaşılan sorunlardan birisi de dalga boyunun tabaka kalınlığından büyük olduğu durumlarda oluşan girişim olayı nedeniyle tabaka ayırmalığının gözleme memisidir. Bilindiği gibi sismik ayırmalılık birbirine yakın zamanda gelen yansımaya sinyallerinin ayırt edilememidir. İki sismik yansımayı katmanın arayüzeylerinden geldiğini gösterebilecek enküçük gidiş-geliş zamanının da farklı olduğu bilinmektedir. Öte yandan sismik ayırmalı-

ılık, tabaka kalınlıkları, hızları ve kaynak dalgacığının dalga boyuna bağlıdır. Yalın olarak yapay yansımaya sismogramı, kaynak dalgacığı ile yansımaya katsayılarının evrişimi sonucunda elde edilir.

Bu çalışmada tek boyutlu dalga denkleminin bazı sınır koşulları altında (tabaka sınırlarında gerilme ve yerdeğiştirmeler sürekli, serbest yüzeyde gerilmeler sıfır) çözümü yapılmıştır. Düzlem dalganın düşey yönündeki gidişi için önce Fourier dönüşümü kullanılarak transfer fonksiyonu elde edilmiştir. Çalışmada kullanılan modeller özellikle tabaka kalınlığı dalga boyu ilişkisini

* Dokuz Eylül Üniversitesi, Mühendislik-Mimarlık Fakültesi, Jeoloji Mühendisliği Bölümü, Bornova-İZMİR

Taktak ve Aydoğan

îçermekte ve bu ilişkinin transfer fonksiyonu üzerindeki etkisi incelenmektedir.

Bundan önce yapılan çalışmalarla, Robinson and Treitel (1977) Yatay n tabakalı bir ortamda z-dönüştümü kullanarak ortamın spektral fonksiyonunun nasıl hesaplanacağını göstermiştir.

Fuchs (1966), yarı sonsuz bir ortamın üzerinde uzanan tabakalı bir yerkabuğu içindeki bir nokta kaynaktan yayılan P dalgaları için transfer fonksiyonunu hesaplamıştır.

Gerçekte bu çalışmada kullanılan yöntem Thomson-Haskel matris yöntemi olarak adlandırılmaktadır ise de, çözüm Thomson-Haskel matrisinde olduğu gibi (4×4) iki matris olarak verilmemekte, S dalga hızları ve ışının geliş açısı matris elemanları olarak hesaplanmamaktadır. Bu çalışmada çözüm (2×2)'lık tabaka matrisi olarak verilmektedir. Matrisin elemanları tabaka kalınlığı (d_i), P dalga hızları (α_i), yoğunluk (p_i) ve frekansın fonksiyonudur. ışının geliş açısı da 90° olacak şekilde incelenmiştir.

TABAKALI BİR ORTAMDA ELASTİK DALGA DENKLEMİ

Daha önce de deðinildiği gibi, modelin aşağıda verilen sınır koşulları ile birlikte yatay n tabakalı ideal, elastik ve homojen yarı sonsuz bir ortamdan oluþtuðu varsayılmaktadır. Problemin çözümü hesaplarda kolaylık olması bakımından iki boyutlu olarak (x, z) düşey düzlem içinde yapılacaktır. x ekseni tabaka sınırlarına paralel, z ekseni aşağıya doğru pozitif olarak seçilmektedir. Elastik dalga denklemiñ dilatasyon (P) dalgaları için genel ifadesi:

$$\nabla^2 U = \frac{1}{\alpha^2} \cdot \frac{\partial^2 U}{\partial t^2} \quad (1)$$

olarak verilir. Burada U , P dalga hızları için yerdeğiştirme potansiyeli; t , zaman; α dalga hızı; ∇^2 , Laplaçyen operatöründür:

$$\nabla^2 U = \frac{\partial^2}{\partial x^2} + \frac{\partial^2}{\partial y^2} + \frac{\partial^2}{\partial z^2} \quad (2)$$

(1) Denklemiñ genel çözümü;

$$U(z, t) = F(t - \frac{z}{\alpha}) + G(t + \frac{z}{\alpha}) \quad (3)$$

F ve G fonksiyonları başlangıç ve sınır koşulları ile belirlenir. $F(t - z/\alpha)$ pozitif yönde ilerleyen düzlem dalgaları göstermektedir. $G(t + z/\alpha)$ ise negatif yönde ilerleyen düzlem dalgalarıdır. İşlemlerde yalnızca pozitif yönde ilerleyen dalgalar dikkate alınacaktır. Buna göre birinci tabaka içerisinde aşağı doğru ilerleyen bir P dalgasının z yönündeki yerdeğiştirme bileşeni için,

$$U_s(z, t) = F(t - \frac{z}{\alpha_1}) \quad (4)$$

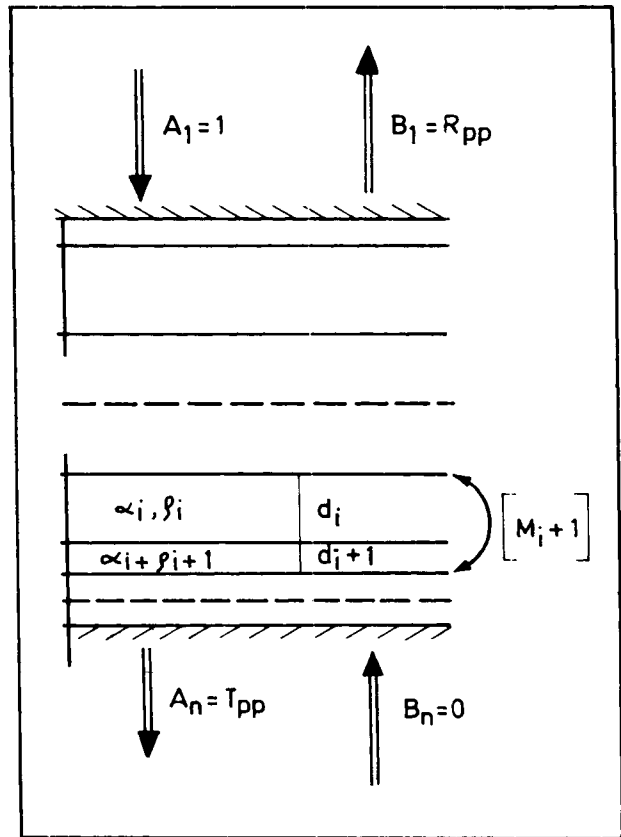
ve (3) nolu denklemdeki $F(t)$ fonksiyonu için,

$$U_s(z, t) = Ce^{jw(t-z/\alpha_1)} \quad (5)$$

şeklinde w açısal frekanslı harmonik bir fonksiyon kul lanır. Böylece iinci tabaka içindeki yerdeğiştirme miktarı özel bir çözüm ile,

$$U_i(z, t) = A_i \exp \left(t - \frac{z - z_{i-1}}{\alpha_i} \right) + B_i \exp \left(jw(t + \frac{z - z_{i-1}}{\alpha_i}) \right) \quad (6)$$

şeklinde verilir (Şekil 1).



Şekil 1. Birbirine paralel tabakalı bir ortamın arayüzlerinden yansıyan ve yayılan dalgalar.

Fig. 1. System of layered media showing ray path normal to the parallel interfaces between layers.

$i = 1$ için (6) denklemiñ birinci terim aşağıya doğru ilerleyen dalgayı, ($A_i = 1$ burada genlik birim olarak alınmıştır), ikinci terim ise aranan yansımıþ dalgayı ($B_i = R$) tanımlamaktadır.

$i = n$ için (6) denklemiñ birinci terim yayılan dalgadır ($A_n = T$), ikinci terim ise sıfır olmaktadır ($B_n = 0$). Görüldüğü gibi A_i ve B_i katsayıları zamana bağlı değildir. (6) denklemiñ aşağıdaki sınır şartları ile düzenleyeceð olursak;

1. Ortamda geçerlilik; $U(z, t) = 1.F(t-z/\alpha_1) + RF(t+z/\alpha_2)$
 2. Ortamda geçerlilik; $U(z, t) = T.F(t-z/\alpha_1)$ (7)

R = yansıtma katsayısi T = yayınım katsayısi

Sınır şartları,

Fiziksel Olarak

1. Tabaka sınırlarında gerilme ve yerdeğiş tirmeler sürekliidir.

2. Serbest yüzeydeki gerilmeleri sıfırdır, yani sınır herhangi bir sismik enerji taşımıyor.

$$1+R = T$$

$$-1+R = -\frac{\rho_2 \alpha_2}{\rho_1 \alpha_2}$$

olduğundan,

$$T = \frac{2 \rho_1 \alpha_1}{\rho_1 \alpha_1 + \rho_2 \alpha_2} \quad R = \frac{\rho_1 \alpha_1 - \rho_2 \alpha_2}{\rho_1 \alpha_1 + \rho_2 \alpha_2} \quad (10)$$

$I_i = \rho_i \alpha_i$ akustik empedans.

$$T = \frac{2 I_1}{I_1 + I_2} \quad R = \frac{I_1 - I_2}{I_1 + I_2} \quad (11)$$

$z = 0$ 'da bir sınır yüzeyi yoktur, yani bu yüzeyde yansıtılıp geri dönen dalga, reverberasyon olayı gözlenmemektedir. (6) numaralı denklemi düzenlemeden önce aşağıdaki olayların bilinmesinde yarar vardır.

a) Kaynak ile alıcı aynı yüzeydedir (kaynak tabaka içinde değildir), b) S dalgaları incelenmemektedir ($\mu = 0$), c) P dalgaları yalnızca düşey (z) yönünde ilerliyor, yani tek boyutlu dalga denklemi kullanılıyor.

Böylece yukarıdaki varsayımlar ve sınır koşulları kullanılarak (6) denklemi düzenlenirse,

$$A_i e^{-jw(t-\frac{z-z_{i-1}}{\alpha_i})} + B_i e^{jw(t+\frac{z-z_{i-1}}{\alpha_i})} = A_{i+1} + B_{i+1} \quad (12)$$

$$\begin{aligned} \rho_i \alpha_i \left[-A_i e^{-jw(t-\frac{z-z_{i-1}}{\alpha_i})} + B_i e^{jw(t+\frac{z-z_{i-1}}{\alpha_i})} \right] \\ = \rho_{i+1} \alpha_{i+1} [-A_{i+1} + B_{i+1}] \end{aligned} \quad (13)$$

eşitlikleri elde edilir.

$\frac{\partial U_i}{\partial z}$ (z, t) ve aynı işlem $\frac{\partial U_{i+1}}{\partial z}$ (z, t) için de yapılmış birinci sınır koşul denklemi,

$$A_{i+1} = A_i e^{-jw \frac{d_i}{\alpha_i}} + B_i e^{jw \frac{d_i}{\alpha_i}} - B_{i+1} \quad (14)$$

İkinci sınır koşulu denkleminde yerine koyulup çözülürse;

$$\begin{aligned} -I_i A_i e^{-jw \frac{d_i}{\alpha_i}} + I_i B_i e^{jw \frac{d_i}{\alpha_i}} \\ = -I_{i+1} \left[A_i e^{-jw \frac{d_i}{\alpha_i}} + B_i e^{jw \frac{d_i}{\alpha_i}} \right] + I_{i+1} B_{i+1} \end{aligned} \quad (15)$$

$$A_i e^{jw \frac{d_i}{\alpha_i}} [-I_i + I_{i+1}] + B_i e^{jw \frac{d_i}{\alpha_i}} [I_i + I_{i+1}] = 2B_{i+1} I_{i+1} \quad (16)$$

ve böylece A_{i+1} ve B_{i+1} eşitlikleri;

$$1/2 \left[A_i e^{-jw \frac{d_i}{\alpha_i}} + \left(1 - \frac{I_i}{I_{i+1}} \right) + B_i e^{jw \frac{d_i}{\alpha_i}} \left(1 + \frac{I_i}{I_{i+1}} \right) \right] = B_{i+1} \quad (17)$$

$$1/2 \left[A_i e^{-jw \frac{d_i}{\alpha_i}} + \left(1 + \frac{I_i}{I_{i+1}} \right) + B_i e^{jw \frac{d_i}{\alpha_i}} \left(1 - \frac{I_i}{I_{i+1}} \right) \right] = A_{i+1} \quad (18)$$

elde edilir.

Bu denklem sistemi matris şeklinde aşağıdaki gibi yazılabilir.

$$\begin{bmatrix} A_{i+1} \\ B_{i+1} \end{bmatrix} = \begin{bmatrix} \frac{1}{2} \left(1 + \frac{I_i}{I_{i+1}} \right) e^{-jw \frac{d_i}{\alpha_i}} & \frac{1}{2} \left(1 - \frac{I_i}{I_{i+1}} \right) e^{jw \frac{d_i}{\alpha_i}} \\ \frac{1}{2} \left(1 - \frac{I_i}{I_{i+1}} \right) e^{jw \frac{d_i}{\alpha_i}} & \frac{1}{2} \left(1 + \frac{I_i}{I_{i+1}} \right) e^{-jw \frac{d_i}{\alpha_i}} \end{bmatrix} \begin{bmatrix} A_i \\ B_i \end{bmatrix} \quad (19)$$

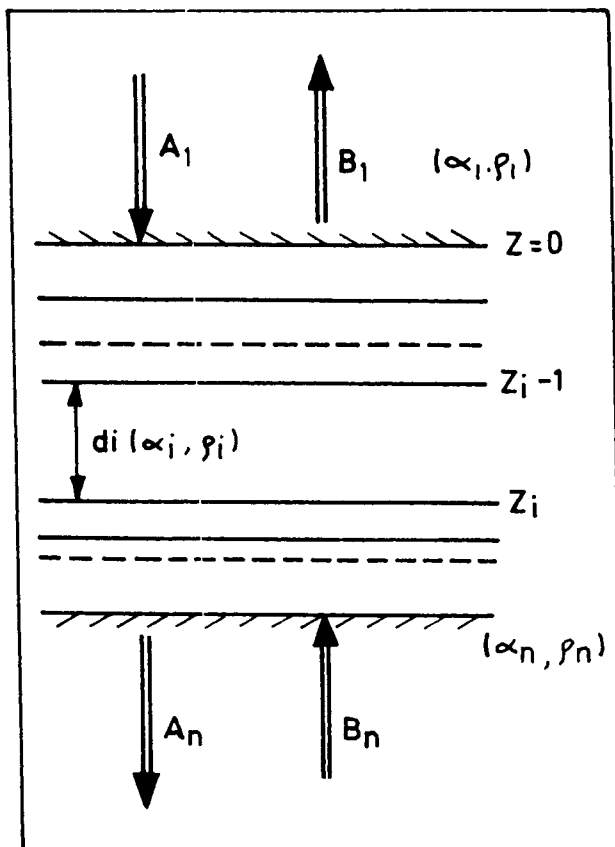
Denklem tekrarlanmış şekli ile tabaka matrisinin çarpımı M olarak gösterilir.

$$\begin{bmatrix} A_n \\ B_n \end{bmatrix} = m_n \cdot m_{n-1} \cdots m_{n-2} \begin{bmatrix} A_i \\ B_i \end{bmatrix} = M \begin{bmatrix} A_i \\ B_i \end{bmatrix} \quad (20)$$

$$\begin{bmatrix} A_n \\ B_n \end{bmatrix} = \begin{bmatrix} M_{11} & M_{12} \\ M_{21} & M_{22} \end{bmatrix} \begin{bmatrix} A_n \\ B_n \end{bmatrix} \quad (21)$$

Tabakalı bir ortam üzerine genliği $A_i = 1$ olan bir düzlem dalga gönderelim. Yansıyan dalga genliği ise $B_i =$

R olsun. Bu durumda ortam tam olarak, yani n inci tabaka bir yarı ortam şeklinde tanımlanmış ise dalga yayının kurallarına göre $B_n = 0$ dir, sınır yüzeyinden yayınarak geçen dalga genliği ise $B_n = T$ olur (Şekil 2).



Şekil 2. n tabaklı yerkabugu modelinde yansıyan ve yayılan dalga genlikleri.

Fig. 2. Amplitude of reflected and refracted waves in n-layered media.

Buna göre oluşturulacak matris;

$$\begin{bmatrix} T_{pp} \\ 0 \end{bmatrix} = \begin{bmatrix} M_{11} & M_{12} \\ M_{21} & M_{22} \end{bmatrix} \begin{bmatrix} 1 \\ R_{pp} \end{bmatrix} \quad (22)$$

şekline dönüsür veya açılmış şekli ile,

$$\begin{bmatrix} T_{pp} \\ 0 \end{bmatrix} = \begin{bmatrix} M_{11} - M_{12} R_{pp} \\ M_{12} - M_{22} R_{pp} \end{bmatrix} \quad (23)$$

Bu matrisin çözümü ile R_{pp} ve T_{pp} katsayıları

$$R_{pp} = -\frac{M_{21}}{M_{22}}$$

$$T_{pp} = M_{11} - M_{21} \cdot \frac{M_{21}}{M_{22}} = \det [M] \frac{1}{M_{22}} \quad (24)$$

$$\det (M) = \frac{I_{n-1}}{I_n} \cdot \frac{I_{n-2}}{I_{n-1}} \cdots \frac{I_2}{I_3} \cdots \frac{I_1}{I_n} = \frac{I_1}{I_n} \quad (25)$$

sorucu olarak,

$$R_{pp} = -\frac{M_{21}}{M_{22}}$$

$$T_{pp} = \frac{I_1}{I_n} \cdot \frac{1}{M_{22}} = \frac{\rho_1 \alpha_1}{\rho_n \alpha_n} \cdot \frac{1}{M_{22}} \quad (26)$$

elde edilir. (24) denkleminde görüldüğü gibi yansımı ve yayının katsayıları tabaka parametrelerinin dışında ayrıca açısal frekans w 'ya da bağlıdır. Buna göre denklem (26) ile yansıyan dalga,

$$U_y(z, t) = R_{pp}(w) e^{jw(t-\frac{z}{\alpha_i})} \quad (27)$$

ve yayılan dalga,

$$U_k(z, t) = T_{pp}(w) e^{jw(t-\frac{z-z_{i-1}}{\alpha_i})} \quad (28)$$

olarak verilir. Yukarıdaki R_{pp} ve T_{pp} katsayıları tüm tabakalar için istenilen freksnlarda hesaplanabilir. Böylece istenen tüm tabaka modelleri için yapay yansımı sisogramları üretilir.

$$F(w) = \int_{-\infty}^{\infty} F(t) \cdot e^{jwt} dt$$

Bir kaynak dalgacı yardımı ile yapay sisogram üretiminde düzlem dalga $F(t)$, $F(w)$ şeklinde bir spektruma sahiptir. Yansıyan dalgalar için $G(t + z/\alpha_i)$ eşitliği aşağıdaki şekilde verilir:

$$G(t + z/\alpha_i) = \int_{-\infty}^{\infty} R_{pp}(w) \cdot F(w) \cdot e^{jw(t+z/\alpha_i)} dw$$

$$= \int_{-\infty}^{\infty} G(w) \cdot e^{jw(t+z/\alpha_i)} dw \quad (29)$$

Yansıyan dalganın Fourier dönüşümü,

$$G(w) = R_{pp} \cdot F(w) \cdot e^{jwz/\alpha_i} \quad (30)$$

$z = 0$ için yapay sisogram ise;

$$G(0, t) = \frac{1}{2\pi} \int_{-\infty}^{\infty} F(w) \cdot R_{pp}(w) \cdot e^{jwt} dw \quad (31)$$

şeklinde üretilir.

YANSIMA, YAYINIM İLİŞKİLERİ VE GİRİŞİM OLAYI

Bilindiği gibi empedans faktörü,

$$K_i = \frac{\rho_{i+1} \alpha_{i+1}}{\rho_i \alpha_i} \quad (32) \quad R_3 = \frac{B_3}{A_3} = 0$$

ve yansima katsayisi,

$$r_i = \frac{1 - k_i}{1 + k_i} \quad \frac{\rho_i \alpha_i - \rho_{i+1} \alpha_{i+1}}{\rho_i \alpha_i + \rho_{i+1} \alpha_{i+1}} \quad (33)$$

şeklinde verilir. Daha sonra yineleme bağıntısından $R(w)$ girişim olaylarını inceleyebilmek için aşağıdaki işlemler yapılır;

$q_i = \exp(-jwd_i/\alpha_i)$ harmonik fonksiyonu, $w = 2\pi f$ açısal frekans ve $\lambda = \alpha \cdot T$ dalga boyu bağıntıları yardımı ile,

$$q_i = \exp(-j2\pi d_i/\lambda_i) \quad (34)$$

şeklinde ifade edilebilir.

$$\Im[\exp(-jwd_i/\alpha_i)] \Rightarrow \delta(t - d_i/\alpha_i) \quad (35)$$

12 ve 13 bağıntılarına benzer biçimde ve sınır koşulları uygulanarak aşağıdaki eşitlikler yazılır:

$$A_i q_i + B_i q_i^{-1} = A_{i+1} + B_{i+1} \quad (36)$$

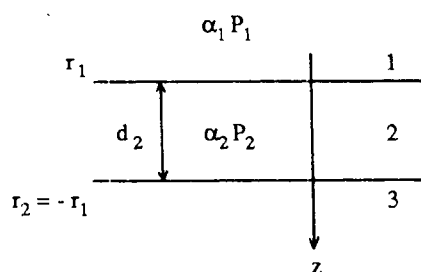
$$- A_i q_i + B_i q_i^{-1} = K_i (A_{i+1} + B_{i+1})$$

$$\frac{A_i}{B_i} = R_i = q_i^2 \frac{\frac{A_{i+1}}{B_{i+1}} + \frac{1 - k_i}{1 + k_i}}{1 + \frac{A_{i+1}}{B_{i+1}} - \frac{1 - k_i}{1 + k_i}} \quad (37)$$

İşlemi ile yansima katsayılarının yineleme bağıntısı elde edilir:

$$R_i = \frac{R_{i+1} + r_i}{1 + R_{i+1} r_i} \cdot q_i^2 \quad (38)$$

Aşağıdaki model iki yarı sonsuz ortam arasında bulunan ince bir tabakadan oluşmaktadır, tabaka parametreleri ise,



şeklindeki gibidir.

Bu model üzerinde yineleme bağıntısını kullanacak olursak şunlar geçerlilik kazanır;

$$R_2 = r_2 q_2^2$$

$$R_1 = \frac{R_2 + r_1}{1 + R_2 r_1} = \frac{r_2 q_2^2 + r_1}{1 + r_2 q_2^2 r_1} \quad (39)$$

$r_2 = -r_1$ eşitliğinden,

$$R_1 = \frac{r_1 - r_1 e^{-jw2d_2/\alpha_2}}{1 - r_1 e^{-jw2d_2/\alpha_2}} = r_1 \frac{1 - e^{-jw2d_2/\alpha_2}}{1 - r_1 e^{-jw2d_2/\alpha_2}} \quad (40)$$

Burada R_1 , açısal frekansın (w) bir fonksiyonudur. $R_1(w)$ 'nin davranışını bizi girişim olayına götürür. Bu girişim olayını yapıci ve yok edici girişim olayları olarak iki şekilde görebiliriz.

Yok edici girişim olayında,

$$\exp(jw2d_2/\alpha_2) = 0$$

veya açık olarak,

$$1 - \exp(jw2d_2/\alpha_2) = 1 - \cos(2wd_2/\alpha_2) - j \sin(2wd_2/\alpha_2) = 0 \quad (41)$$

$\cos(2wd_2/\alpha_2) = 1$ olduğundan,

$$2wd_2/\alpha_2 = 2n\pi \quad n = 0, 1, 2, 3, \dots \quad (42)$$

$$f_n = \frac{w_n}{2\pi} = \frac{n\alpha_2}{2d_2} \quad n = 0, 1, 2, 3, \dots$$

noktalarında $R_1(w)$ sıfır değerini alır.

Boyuksuz büyülüklük d/λ ya göre yok edici girişim oranları

$$\left(\frac{d}{\lambda}\right) = 0, \frac{1}{2}, 1, \frac{3}{2}, 2, \frac{5}{2} \text{ dir.} \quad (43)$$

Yapıcı girişim olayında ise,

$$w_n wd_2/\alpha_2 = (2n + 1)\pi \quad n = 0, 1, 2, \dots \quad (44)$$

$$f_n = \frac{(2n + 1)\alpha_2}{4d_2} \quad n = 0, 1, 2, \dots$$

noktalarında $R_1(w)$ sıfır değerini alacaktır.

Yapıcı girişim olayında ise boyutsuz büyülüklük (d/λ) oranları

$$\left(\frac{d}{\lambda}\right) = \frac{1}{4}, \frac{3}{4}, \frac{5}{4}$$

şeklinde olmaktadır.

UYGULAMALAR VE SONUÇLAR

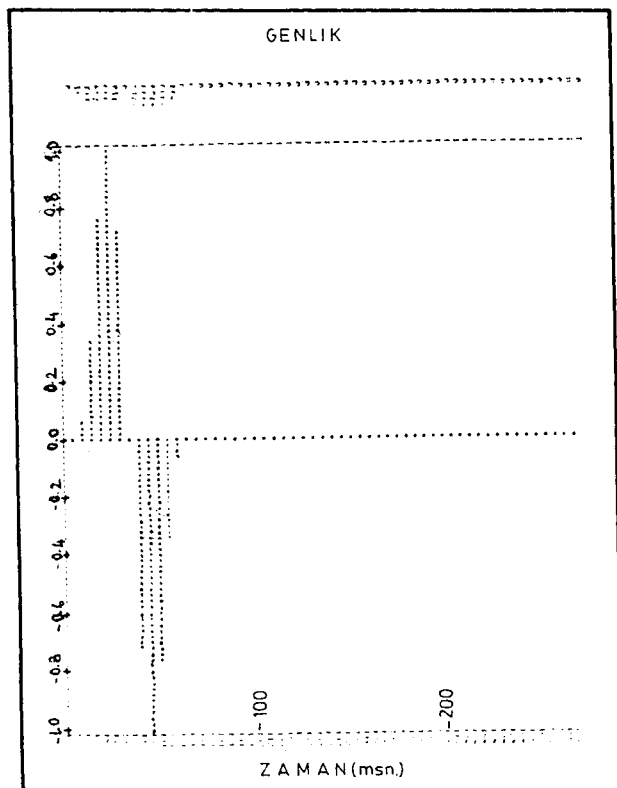
Bu bölümde kuramsal tabaka modellerinden değişik hız ve yoğunluğa bağlı olarak P dalgaları ile üretilen yansımaları içeren yapay yansıtma sismogramları incelenmiştir. Tabakalı bir ortamda ilerleyen elastik dalgalar için dalgı denklemi verilen matris yöntemi ile çözülmüştür. Bu matris yardımıyla elde edilen sonuçlar diğer yöntemler ile kontrollü yapılabildiğinde duyarlılığı artmaktadır. Ancak tabaka parametrelerinin sismogram ve transfer fonksiyonunu ne şekilde etkilediğini önceden bilmek gereklidir. Bu nedenle önceden hazırlanan modellerle parametre değişimlerinin etkisini araştırıp problemi daha basitleştirmek için parametre değerlerinde bazı sınırlamalar yapılmaktadır.

Yerkabuğunda yoğunluk, sismik dalgı hızları ile birlikte genel olarak doğrusal arttıkından, yoğunluk-hız ilişkisi için;

$$\rho = 1.7 - 0.2 \alpha \quad (46)$$

Nafe and Drake (1963) bağıntısı kullanılır.

Şekil 3'de, kaynak dalgacıının analitik olarak aşağıdaki şekilde verilmiştir (Fertig ve Muller 1978).



Şekil 3. Kaynak dalgacı.
Fig. 3. Input wavelet.

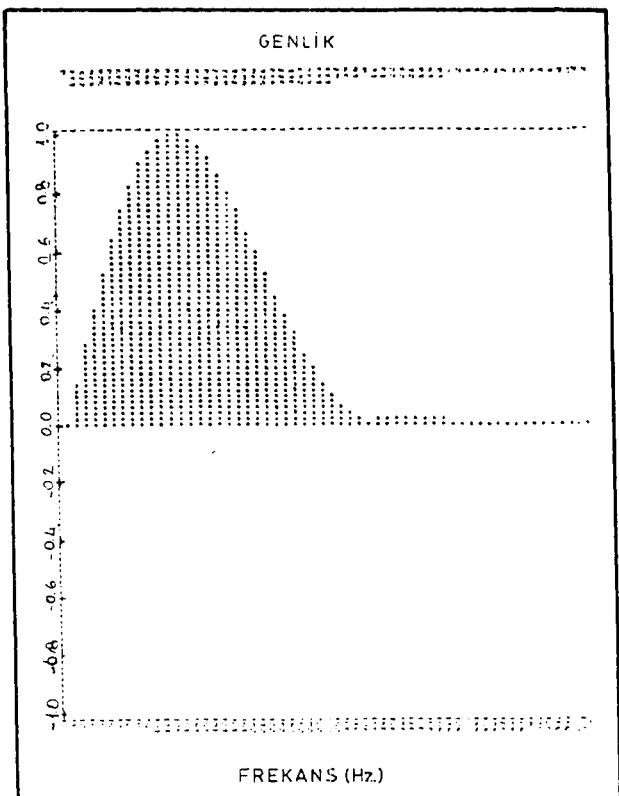
$$f_n(t) = \begin{cases} \sin \delta t - \frac{1}{m} \sin m\delta t & 0 \leq t \leq T \\ 0 & 0 < t \text{ ve } t > T \end{cases}$$

$$\delta = \frac{N\pi}{T} \quad m = \frac{n+2}{N} \quad N = 1, 2, 3, \dots$$

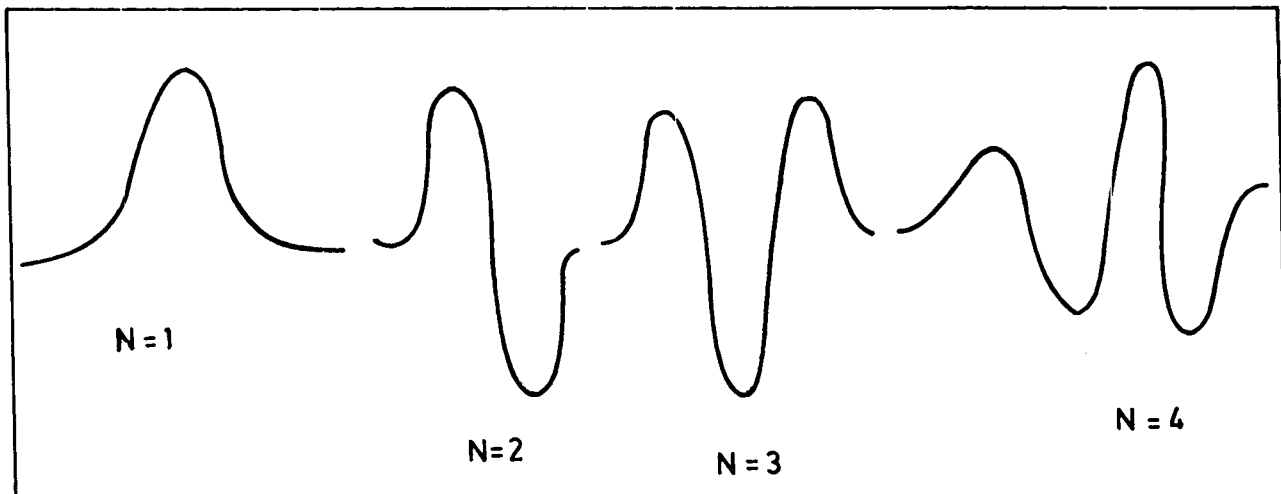
Burada, N extremum noktası, T sinyalin peryodu ve t zaman aralığıdır.

Kaynak dalgacıının spektrumu ise Şekil 4'de görülmektedir. Buradaki kaynak dalgacı $f_n(t) = d/dt f_{n-1}(t)$ şeklindedir ve uygulamalarda N = 2 olarak seçilmiştir (Şekil 5).

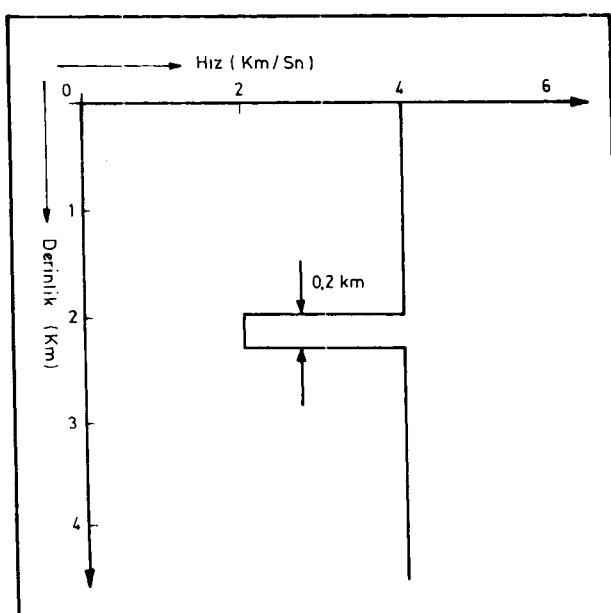
Önce de dephinildiği gibi, bu çalışmada amaç tabaka kalınlıklarındaki değişimlerin sismogram ve yerkabuğu transfer fonksiyonu üzerindeki etkisini incelemek ve araştırmaktır. Uygulamalarda örnekleme aralığı $\Delta t = 5$ msn, kaynak dalgacı peryodu 12 örneklemeden $T = 12 \times 0.005 = 60$ msn olarak alınmıştır. Tabaka kalınlıklarının yerkabuğu transfer fonksiyonuna etkisini incelemek için seçilen ilk kuramsal model üç tabakalıdır. Bu ve bundan sonrası sismogramlarda da incelenen olay tabaka kalınlığı-dalgı boyu ilişkisine dayanmaktadır. Başka bir deyişle, dalgı boyunun tabaka kalınlığından büyük olduğu durumlarda gözlenecek olaylar ve yorumda getirdiği güçlüklerdir. Şekil 6'daki modelde iki yarı sonsuz ortam arasındaki tabaka kalınlığı 200 m ve dalgı boyu $\lambda_2 = \alpha_2 \cdot T = 2000 \text{ m/sn} * 0.06 \text{ sn} = 120 \text{ m}$ olarak alınmıştır. Yani $\lambda_1 < \lambda_2$ olayı söz konusudur. Böylece kuramsal yer modeline göre oluşturulan sismogramdaki (Şekil 7) kaynak dalgacı esas şeklini korumuştur. Çalışmada yansıtma olayı sadece düşey gidiş-geliş olarak incelendiği için ikinci tabakadan yansiyip yüzeydeki alıcıya gelen sinyal, sismogramda $T = 2h_2/v_2 = 200$ msn de görülmektedir. Böylece



Şekil 4. Kaynak dalgacıının genlik spektrumu.
Fig. 4. Amplitude spectrum of input wavelet.



Şekil 5. $N = 1, 2, 3$ ve 4 için kullanılan kaynak dalgacığının şekli.
Fig. 5. Shape of input wavelet for $N = 1, 1, 3$ and 4 .



Şekil 6. Üç katmanlı bir yapıdan oluşan kuramsal Model-I.
 $V_1 = 4000 \text{ m/sn}$, $V_2 = 2000 \text{ m/sn}$,
 $d_1 = 2000 \text{ m}$, $d_2 = 200 \text{ m}$,
 $\rho_1 = 2.5 \text{ gr/cm}^3$. $\rho_2 = 2.1 \text{ gr/cm}^3$,
 $V_3 = 4000 \text{ m/sn}$,
 $d_3 = 2000 \text{ m}$,
 $\rho_3 = 2.5 \text{ gr/cm}^3$

Fig. 6. Three layered synthetic Model-I.

ikinci tabakadan yansiyip alıcıya gelen sinyal diğer tabakalarдан yansiyan sinyaller ile girişime uğramayacak, tabaka ayırimılılığı da sismogramda görüldüğü gibi net bir şekilde gözlenmiş olacaktır. Çalışmada oluşturulan yapay sismogramlar zaman olarak kaydırıldığından ilk yansımaya $t = 0$ 'da bulunmaktadır. Aynı model için elde edilen transfer fonksiyonuna bakıldığında örnekleme frekansı $f_o = 1/\Delta t = 2\pi/w_o = 200 \text{ Hz}$ olduğu görülmür.

Örnekleme kuramına göre, $f_o < 2f_M$ olduğu sürece görüntü spektrumlar, esas spektrumdan ve birbirlerinden ayrılmış olacaklardır. Bu da örnekleme aralığının $1/2 f_M$ 'den daha küçük ($\Delta t < 1/2f_M$) seçilmesi ile olacaklardır. Örnekleme aralığının $\Delta t = 1/2f_M$ seçilmesi ise limit durumu oluşturmaktadır.

Bu durum ayrik spektrumda görülmektedir (Şekil 8). Şekilden de görüldüğü gibi görüntü spektrumlar birbirini ve esas spektrumu etkilememekle birlikte spektrum f_N (Nyquist frekansı) etrafında katlanmaktadır.

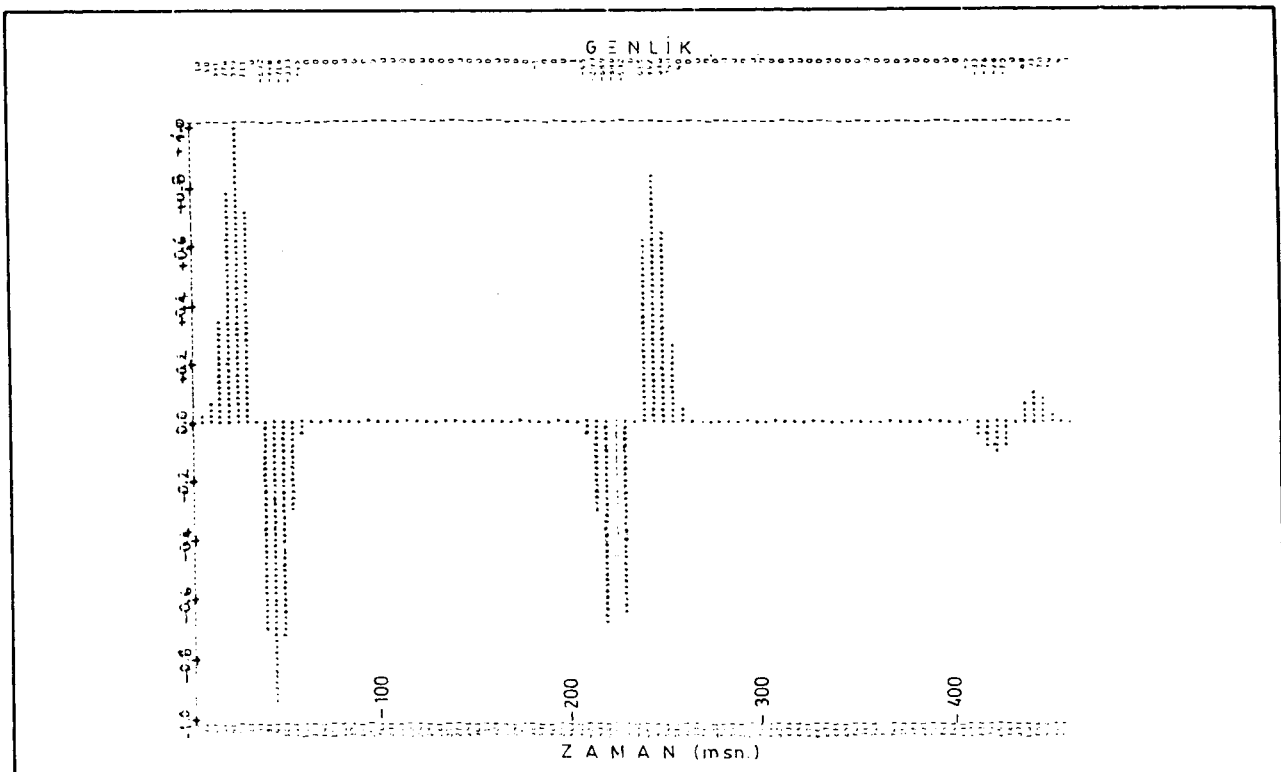
II. Modelde (Şekil 9) iki yarı sonsuz ortam arasındaki tabaka kalınlığı 200 m'den 2 m'ye azaltıldığında $d_2/\alpha_2 \ll 1$ olayı söz konusu olacaktır. Dolayısı ile oluşan sismogramda tabakalarдан yansyan sinyallerin girişimi sonucu tabaka ayırimılılığı gözlenmeyecektir (Şekil 10). Doğal olarak görüntü spektrumlarının esas spektrumdan ve birbirlerinden yeterince ayrılması durumu olmayacağı ve girişim olayı nedeni ile farklı bir spektrum elde edilecektir. Tabaka kalınlığı inceldikçe transfer fonksiyonun genliği yüksek frekanslara doğru kayacak ve böylece girişim olayının varlığı transfer fonksiyonundan gözlenebilecektir (Şekil 11).

Böyle bir ortam için aşağıdaki bağıntı verilmektedir;

$$\begin{aligned} r_1(1 - e^{-jw2d_2/\alpha_2}) &\equiv r_1(1 - 1 + jw2d_2/\alpha_2) \\ &\equiv jwr_12d_2/\alpha_2 \end{aligned}$$

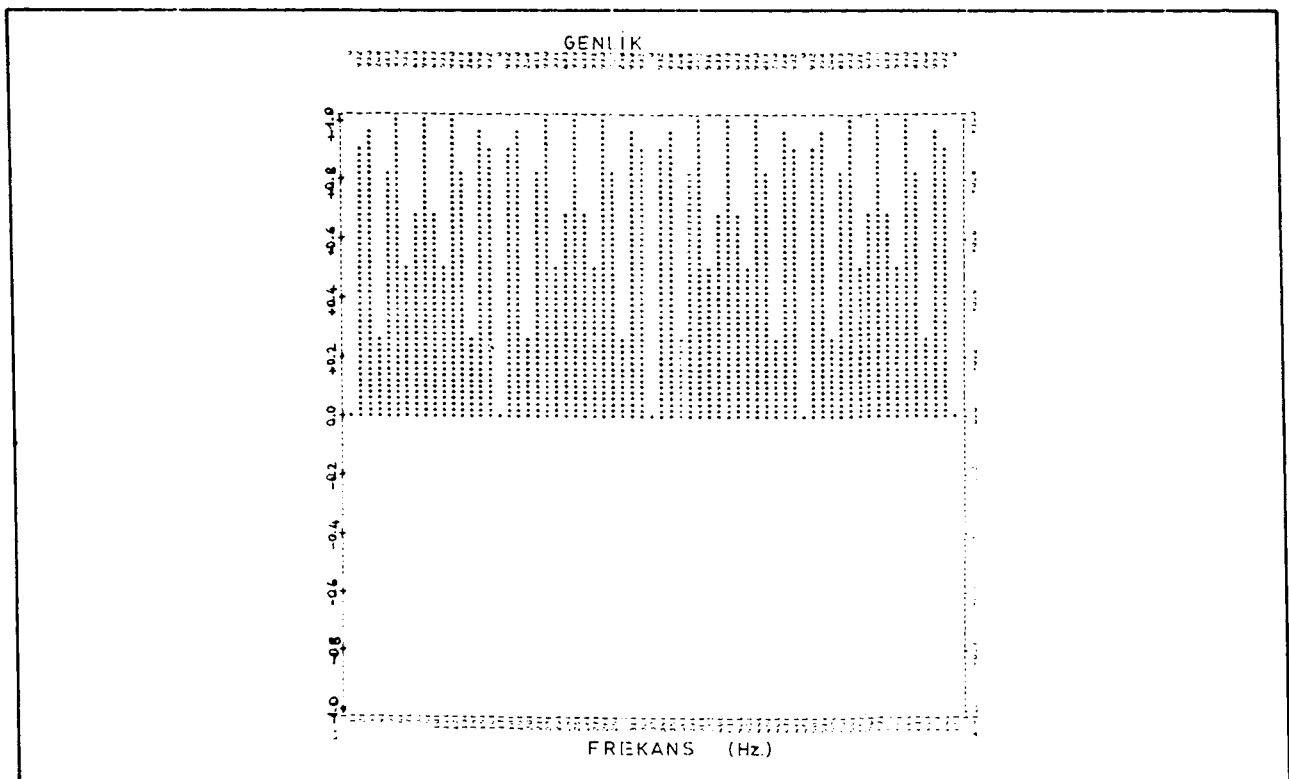
r_1 = katmanın üst yüzeyinden yansyan dalganın genliğidir. Burada transfer fonksiyonu w ile doğrusal olarak artar, zaman ortamına geri dönüste ise kaynak dalgacı, $G(t + z/\alpha_1) \equiv r_1 2d_2/\alpha_2 \cdot F(t + z/\alpha_1)$ şekline alır.

Model-III'deki (Şekil 12) iki yarı sonsuz ortam arasında 200 m kalınlığında bir geçiş zonu, herbiri 10 m kalınlıkta olan 20 katmandan oluşmaktadır. Geçiş zonunda hız sürekli olarak arttığından ($\lambda_G = T \cdot \alpha_G$) dalga boyu



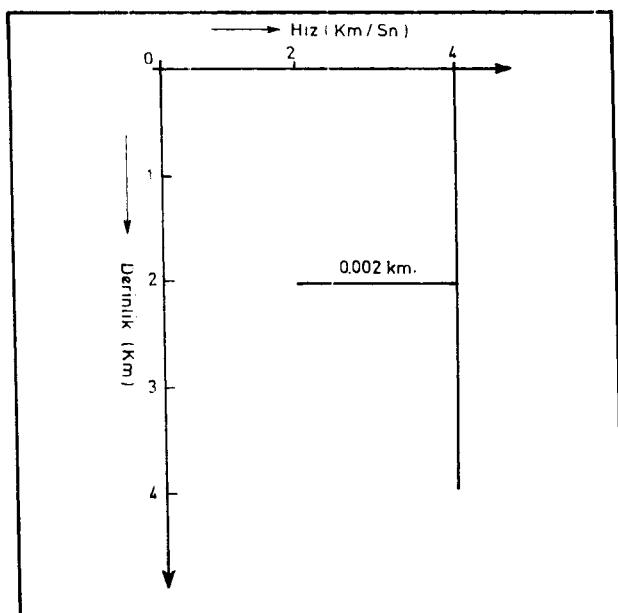
Şekil 7. Model-I'nin kullanımı ile oluşturulan yapay yansımaya sismogramı. 5 msec aralıklar ile örneklenmiş 128 örnek sayısından oluşmaktadır.

Fig. 7. Synthetic reflection seismogram produced of using the layered Model-I. It consists of 128 samples of 5 msec interval.



Şekil 8. Model-I'nin transfer fonksiyonu.

Fig. 8. Transfer function of Model-I.



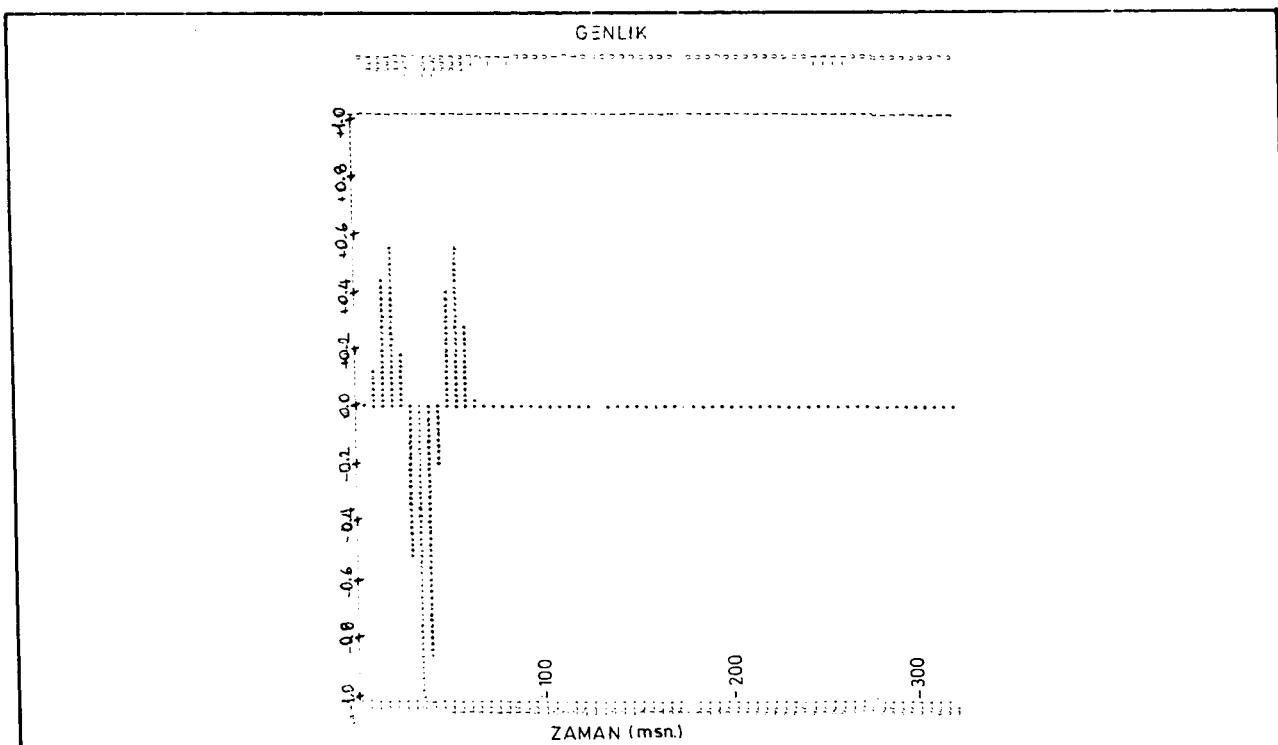
Şekil 9. Üç tabakadan oluşan kuramsal Model-II.

$$\begin{aligned}
 v_1 &= 4000 \text{ m/sn}, & v_2 &= 2000 \text{ m/sn}, \\
 d_1 &= 2000 \text{ m}, & d_2 &= 2 \text{ m}, \\
 \rho_1 &= 2.1 \text{ gr/cm}^3, & \rho_2 &= 2.5 \text{ gr/cm}^3, \\
 v_3 &= 4000 \text{ m/sn}, \\
 d_3 &= 2000 \text{ m}, \\
 \rho_3 &= 2.1 \text{ gr/cm}^3.
 \end{aligned}$$

Fig. 6. Three layered synthetic Model-II.

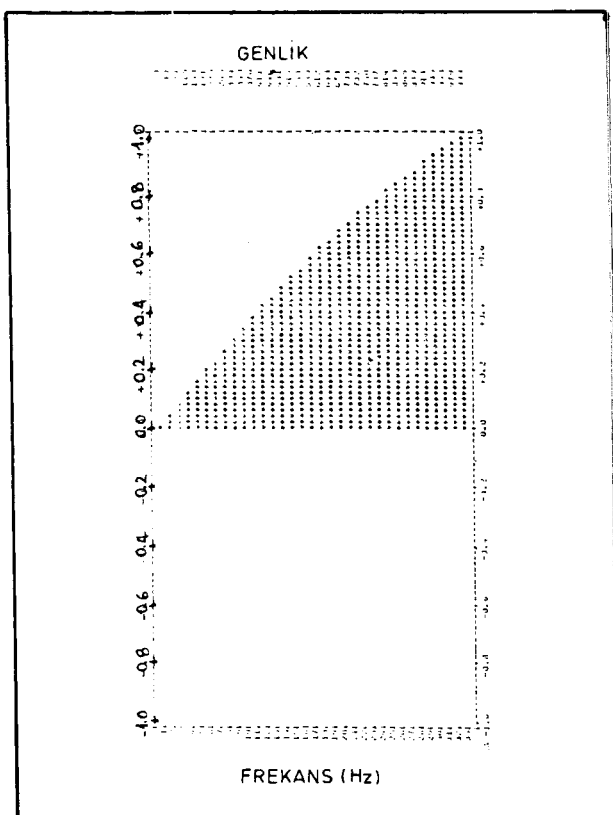
da bu zonda sürekli olarak değişecek ve girişim olayına neden olacaktır. Bu olay sonucunda oluşan sismogramda görüldüğü gibi kaynak dalgacığı şeklini tamamen kaybedecektir. Burada kömür damarlarında karşılaşılan olaylar (güçlü kontrast, ince tabaka) söz konusudur. Böyle ortamlarda sinyaller kısa bir zaman aralığında aşırı yüklenir ve güçlü genlikler oluştururlar (Şekil 13). Model-III'ün transfer fonksiyonu yukarıda belirtilen özelliklerden dolayı, ekstremum noktaları duyarlılık göstermeden düzensiz bir şekilde girişim olayına bağlı olarak oluşan Şekil 14'deki gibi bir spektruma sahip olacaktır. Geçiş zonunda 10 m kalınlıktaki 20 katman arasında hızlar birbirlerine yaklaşıkça piklerin genlikleri azalmaktadır.

Model-IV'de 2 m kalınlığındaki ince tabaka ile 200 m kalınlığındaki geçiş zonu birlikte verilmiştir (Şekil 15). Model-IV deki geçiş zonunda tabakalar arasındaki hız farkı Model-III'e göre ters olarak alındığından yani, alttaki katmanın hızı üstteki katmanın hızından küçük olduğundan ($\alpha_i < \alpha_{i+1}$) geçiş zonundan gelen yansımının ilk piki sismogramda pozitif bölgede görülmektedir (Şekil 16). Modelin transfer fonksiyonunda görüldüğü gibi 2 m kalınlığındaki ince tabakada $d_2/\lambda_2 \ll 1$ olayı nedeni ile frekans katlanması meydana gelecek yüksek frekanslardaki bilgiler temel frekans aralığı içine sızmış olacak ve böylece transfer fonksiyonu w ile doğrusal olarak artacaktır. Şekil 17'de geçiş zonundaki ince tabakalarda oluşan girişimden dolayı spektrumda oluşan pikler (Şekil 14) 2 m kalınlığındaki yerkabuğu modelinin transfer fonksiyonu üzerinde yer almaktır ve böylece her iki olayda transfer fonksiyonunda gözlemlenmektedir.

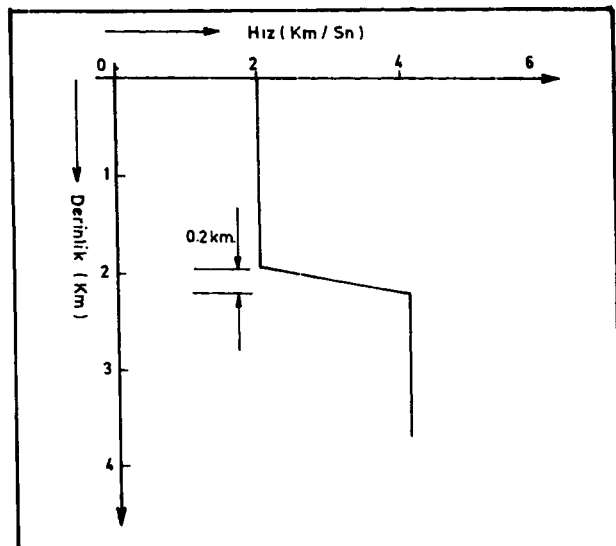


Şekil 10. Model-II'nin kullanılması ile oluşturulan yapay yansıma sismogramı. 5 msn aralıkları ile örneklenmiş 64 örnekten oluşmaktadır.

Fig. 10. Synthetic reflection seismogram produced of using the layered Model-II. It consists of 64 samples of 5 msec intervals.



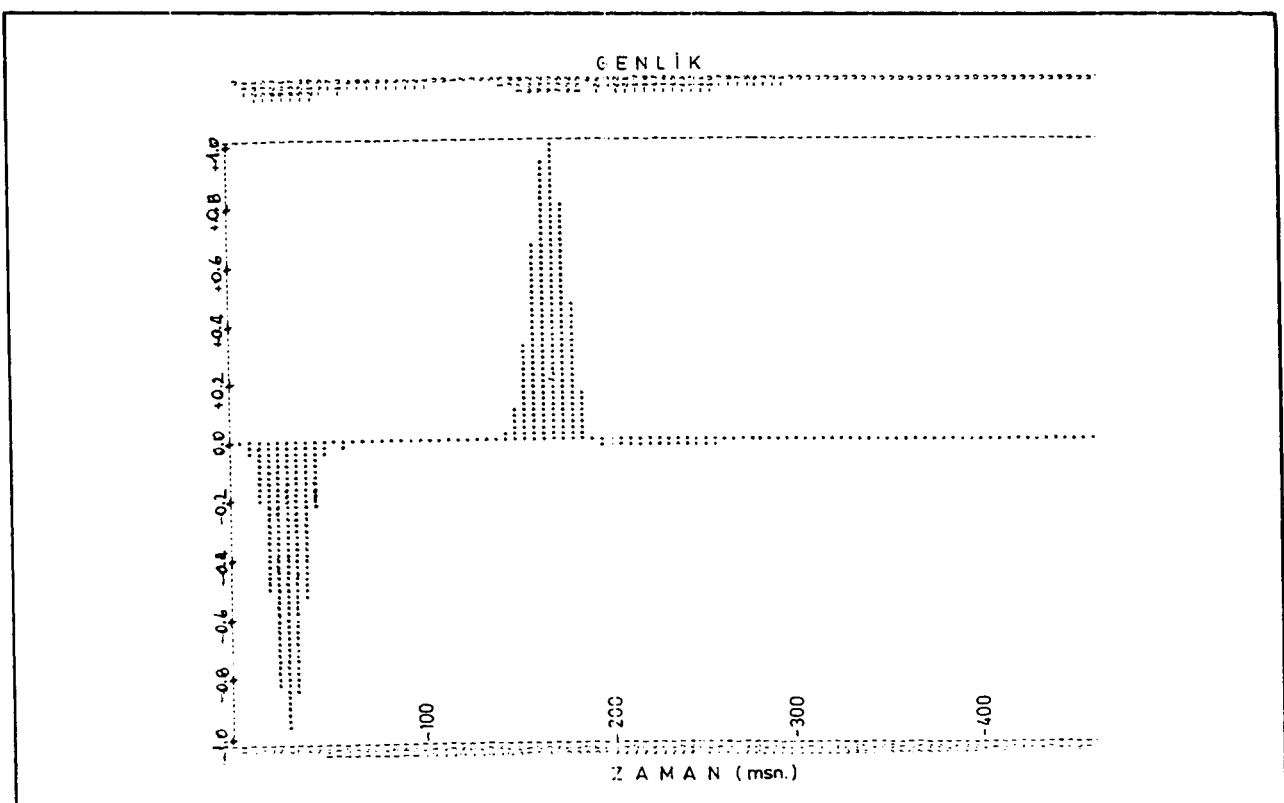
Şekil 11. Model-II'nin transfer fonksiyonu.
Fig. 11. Transfer function of Model-II.



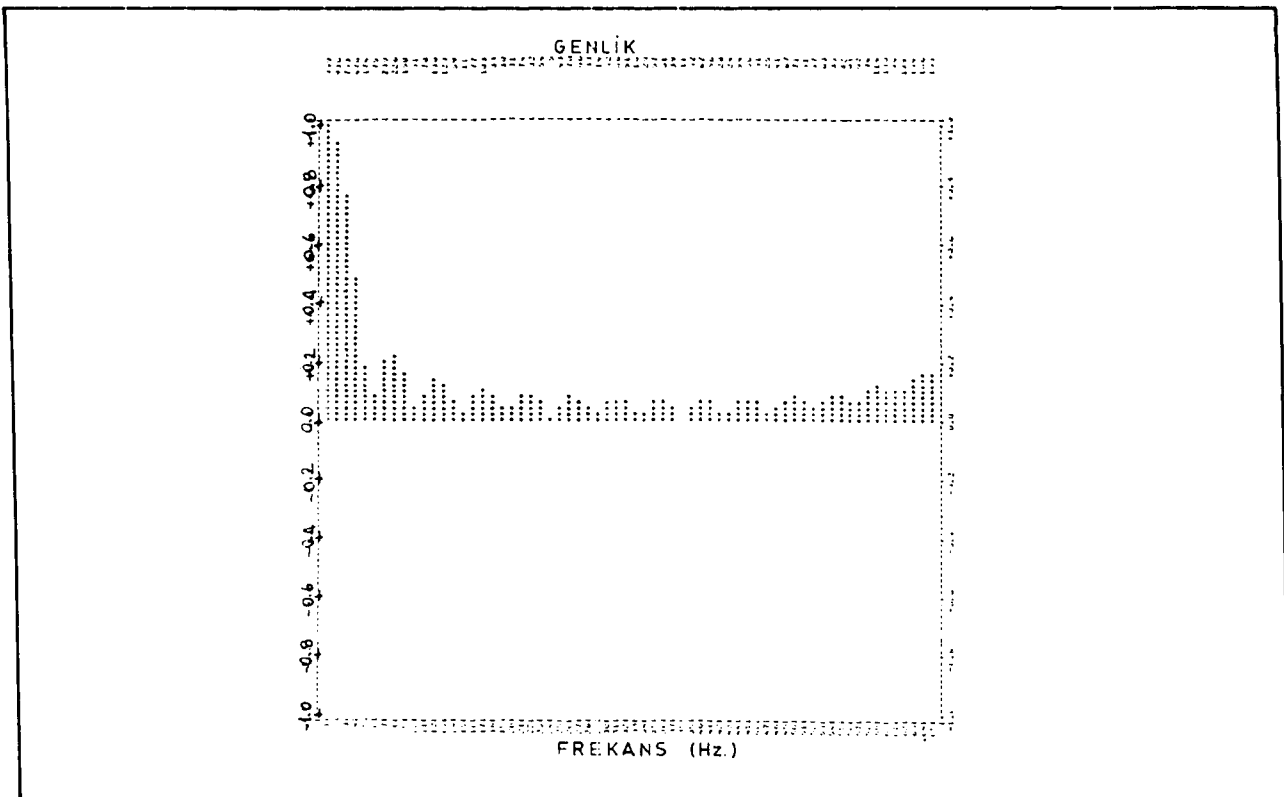
Şekil 12. 200 m'lik bir geçişzonu içeren kuramsal Model-III.

$$\begin{aligned}
 v_1 &= 2000 \text{ m/sn}, & \text{Geçiş zonu,} \\
 d_1 &= 200 \text{ m}, & d_2 = 200 \text{ m,} \\
 \rho_1 &= 2.1 \text{ gr/cm}^3. & \text{Geçiş zonu,} \\
 v_3 &= 4000 \text{ m/sn,} \\
 d_3 &= 2000 \text{ m,} \\
 \rho_3 &= 2.5 \text{ gr/cm}^3.
 \end{aligned}$$

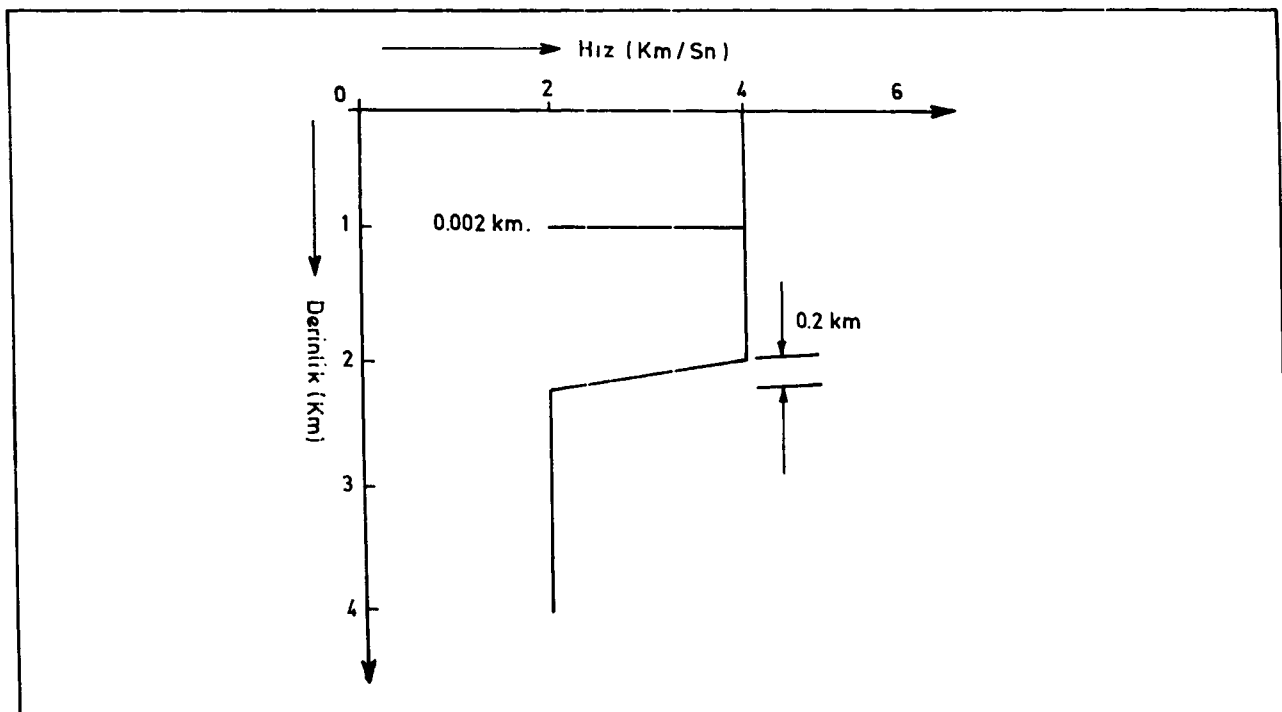
Fig. 12. Synthetic Model-III having 200 m of transition zone.



Şekil 13. Model-III'ün kullanılması ile oluşturulan yapay yansımaya sismogramı.
Fig. 13. Synthetic reflection seismogram produced by using the layered Model-III.



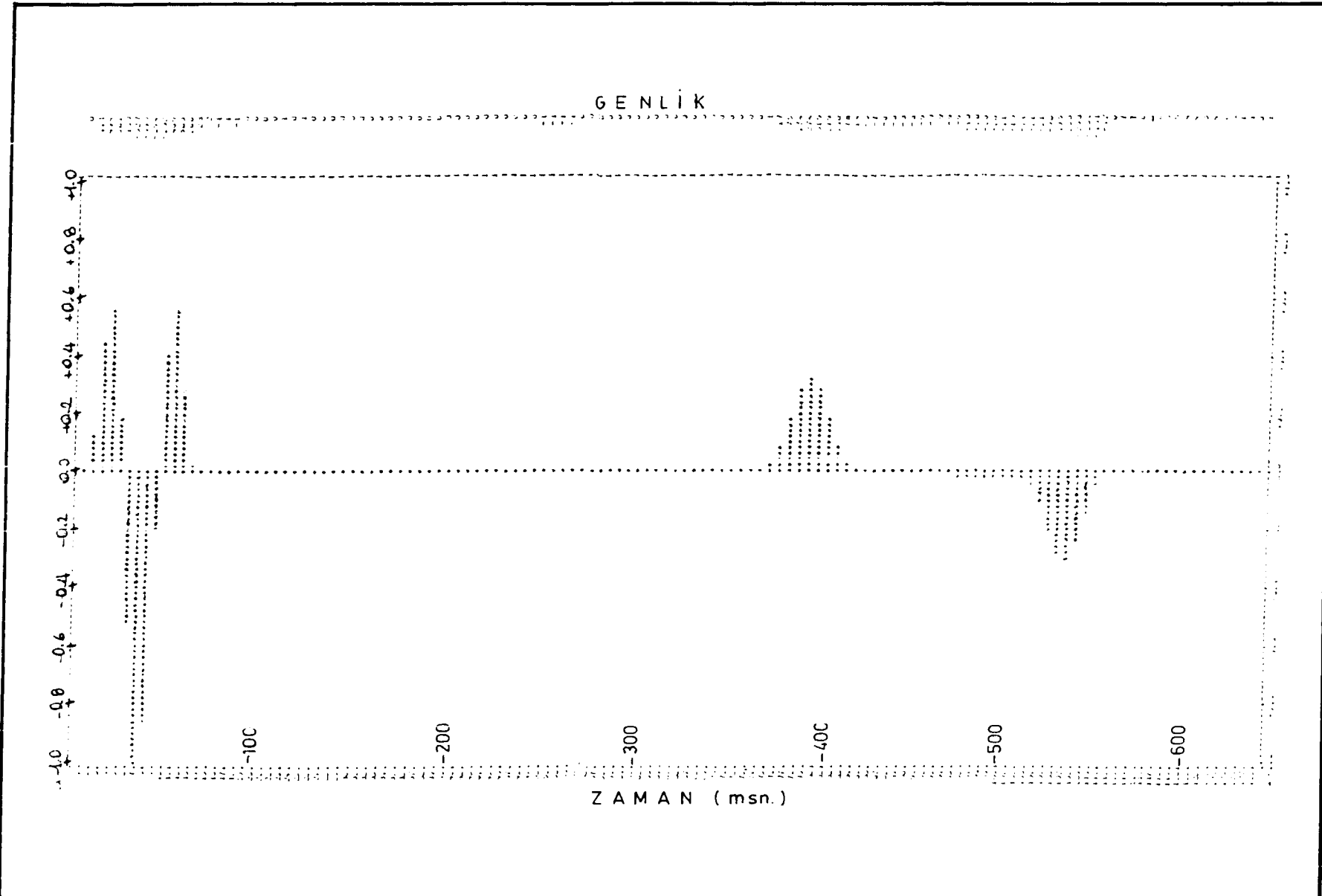
Şekil 14. Model-III'ün transfer fonksiyonu.
Fig. 14. Transfer function of Model-III.



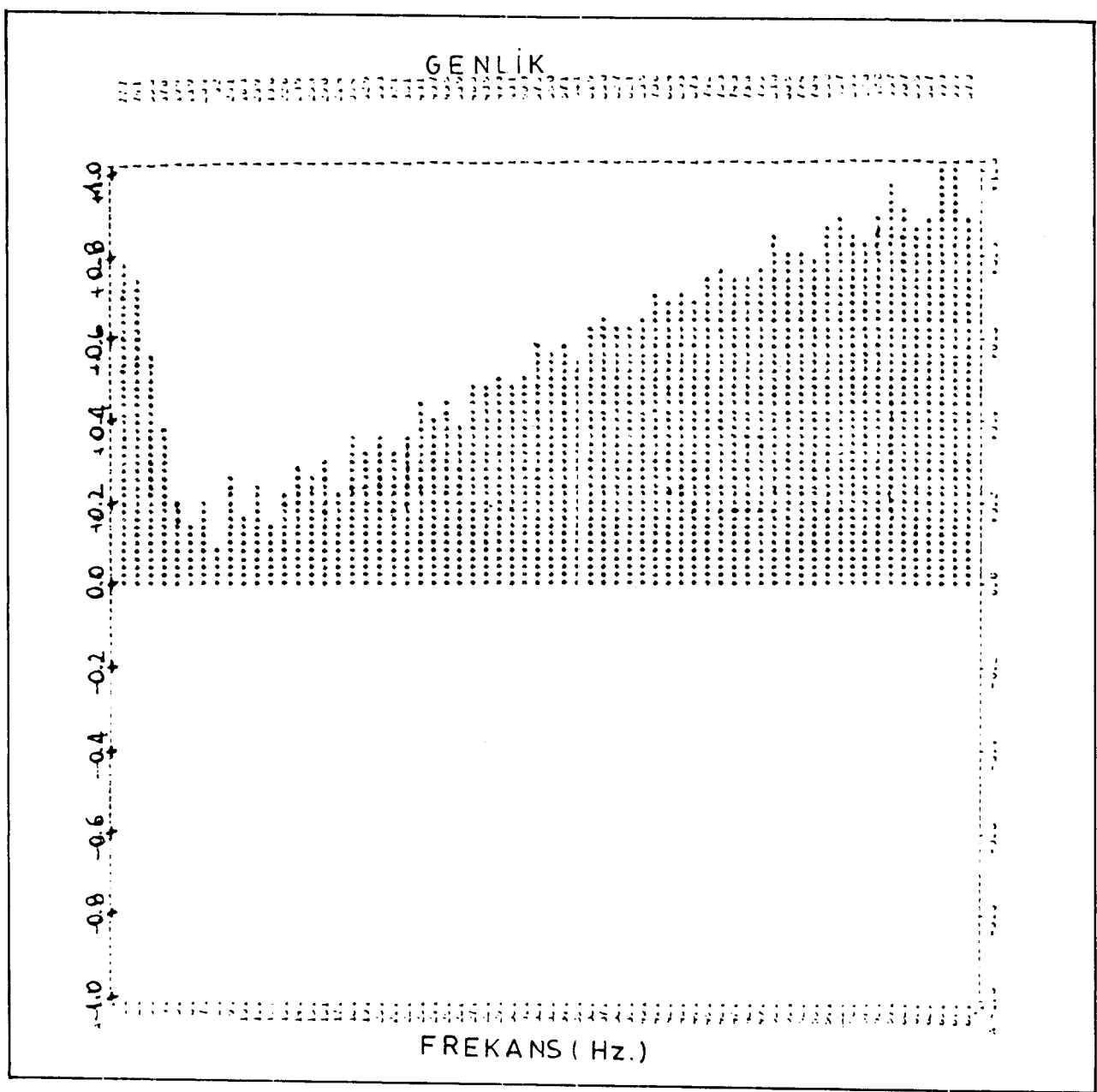
Şekil 15. 200 m'lik bir geçiş zonu ve 2 m'lik ince bir tabakayı içeren yapay Model-IV.

$$\begin{array}{llll}
 V_1 = 4000 \text{ m/sn}, & V_2 = 2000 \text{ m/sn}, & V_3 = 4000 \text{ m/sn}, & \text{Geçiş zonu,} \\
 d_1 = 1000 \text{ m}, & d_2 = 2 \text{ m}, & d_3 = 1000 \text{ m}, & d_4 = 200 \text{ m,} \\
 \rho_1 = 2.5 \text{ gr/cm}^3, & \rho_2 = 2.1 \text{ gr/cm}^3, & \rho_3 = 2.5 \text{ gr/cm}^3, & \rho_5 = 2.1 \text{ gr/cm}^3.
 \end{array}$$

Fig. 15. Synthetic Model-IV having 200 m of transition zone and 2 m of thin layers.



Şekil 16. Model-IV'ün kullanılması ile oluşan yapay yansımaya sismogramı. 5 msn aralıklar ile örneklenmiş 128 örnekten oluşmaktadır.
 Fig. 16. Synthetic reflection seismogram produced by using the layered Model-IV. It consists of 128 samples of 5 msec intervals.



Şekil 17. Model IV'ün transfer fonksiyonu.

Fig. 17. Transfer function of Model-IV.

KAYNAKLAR

- Fertig, J. and Müller, G. 1978, Computations of Synthetic Seismograms for coal seams with the reflectivity method, Geophysical Prospecting 26, 868-883.
- Fuchs, K. 1966, The transfer function for P waves for a system consisting of a point source in a layered medium, Bull. Seism. Soc. Am. 56, 75-108.
- Nafe J.E., and Drake C.L. 1963, The Sea, Pergamon Press, Newyork.
- Robinson E.A. and Treitel S. 1977, The spectral function of a layered system and the determination of the waveforms at depth, Geophysical Prospecting 25, 434-459.